

CONCEITOS TEÓRICOS SOBRE FIGURAS MULTIDIMENSIONAIS A MATEMÁTICA IMPLÍCITA DE PITÁGORAS A FERMAT

HOMAM ASAFKAN*

PARTE I

INTRODUÇÃO

Breve Histórico que nos Remete às Figuras Multidimensionais

O matemático britânico Andrew Wiles deu prova definitiva para o Último Teorema de Fermat – UTF – como ficou conhecida a conjectura do matemático amador francês Pierre de Fermat (1601-1665). A odisséia desse gênio dos nossos tempos está registrada no livro de Simon Singh e relata bem a história do enigma intrincado e a busca comovente por uma demonstração “perdida” há mais de 350 anos.

Os matemáticos de todo o mundo estão convencidos de que Fermat não teria como unir conexões nos elos de lógica, capazes de provar o UTF em uma época onde a matemática ainda passava por sua infância.

Esse enigma teve alto grau de interesse e foi apresentado no século XVII. A charada é a seguinte:

“A equação $x^m + y^m = z^m$, na qual m é um inteiro qualquer não admite solução para x , y e z inteiros diferentes de zero quando o expoente for maior que 2”.

Somente no final do século XX essa conjectura ganhou “status” de teorema quando foi finalmente demonstrado.

O que faz desse quebra-cabeça tão importante não é o fato de sua utilidade dentro da Matemática. Na verdade, não tem utilidade alguma. É o simples fato de ele ter sido concebido sem sua demonstração e seu autor ter afirmado que ela era simples. Isso intrigou os grandes gênios por séculos porque nenhum deles conseguia tal façanha. Sua

* Pesquisador holandês, radicado no Brasil, vinculado à Universidade Federal do Rio de Janeiro.

demonstração recente contém uma matemática extremamente complexa, onde Wiles explorou técnicas avançadas, só acessíveis a poucos especialistas.

Diante disso há de se questionar: será que Fermat estava certo ou, pelo menos, falando a verdade, quando afirmava acreditar que a demonstração do UTF era simples?

Afinal, o que fez surgir o UTF? Um pensamento brilhante ou pura sorte?

As respostas nunca mais serão encontradas, sem que haja contestações. Embora seja tolice supor que haveria como recompor os pensamentos que nortearam a imaginação de Fermat no momento em que tornou célebre sua famosa declaração, sentimo-nos forçados a traçar planos de conjecturas a fim de obter pistas para aquilo que pode ser uma idéia interessante: teoricamente, é possível imaginar figuras $(m - 1)$ dimensionais, onde m é um inteiro qualquer, maior que 2, e obtermos considerações sobre a projeção geométrica de qualquer figura multidimensional no plano.

— É de importância vital, para a devida compreensão desta sinopse, o fato de que, com exceção da complexidade no conceito de figuras multidimensionais, todos os elos de lógica que compõem o corpo deste artigo não contêm saltos intrincados de arranjos complexos em uma alta matemática. Ao contrário, refere-se a deduções axiomáticas facilmente verificadas e mostra as entrelinhas de uma história perdida, que vai do século VI a.C. até o século XVII. Nosso objetivo foi o de aflorar esse período, estudando e pesquisando, através de resquícios da História oficial. Ou seja, este trabalho tem sustentação científica em uma matemática implícita de Pitágoras a Fermat.

PARTE II

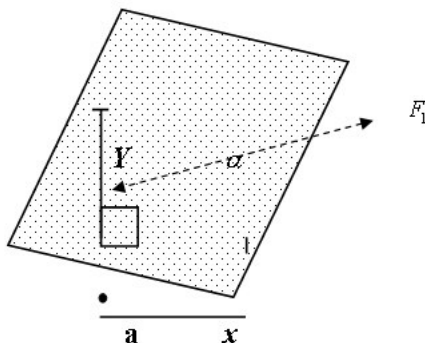
A Definição de m e de Triângulos Notáveis. Projeção de Figuras Multidimensionais.

Vamos começar supondo que Pierre de Fermat não construiu sua conjectura de uma forma casual. O que fez eclodir esse “instante de genialidade” foi resultado de conceitos acumulados em períodos descontínuos de reflexão. Vamos caminhar na

contramão da História e fazer o percurso contrário ao do matemático suíço Leonhard Euler (1707-1783).

Iniciamos mostrando uma questão trivial que remonta a Pitágoras:

Seja a figura 1:



Só existe triângulo retângulo quando a projeção do segmento de reta y sobre o segmento de reta x é ortogonal, existindo um único ponto \underline{a} da projeção. Ou seja: a projeção de y sobre x é nula se os lados menores do triângulo (retângulo) forem ortogonais.

Somente triângulos retângulos geram termos pitagóricos. Portanto, imaginando x , y e z inteiros, diferentes de zero, podemos fazer uma interessante associação: $(x + y)^2 = z^2 = x^2 + 2xy + y^2$. O termo algébrico $2xy$, se suprimido, nos dá $z^2 = x^2 + y^2$. Não é difícil chegar à conclusão que aquele termo algébrico, analisado geometricamente na projeção ortogonal, só podia valer zero para gerar um termo pitagórico: $z^2 = x^2 + y^2$. Se chamarmos esse termo algébrico de Δ_m , (para $m = 2$), podemos afirmar que $\Delta_m = 0$, porque sua projeção \underline{a} (adimensional) torna Δ_m nulo.

Vamos insistir: $(x + y)^2 = z^2 = x^2 + y^2 + \Delta_m$ torna uma equação diofantina ($\Delta_m = 0$). Ou seja: se a projeção de y sobre x for ortogonal, resulta em um único ponto \underline{a} da projeção e Δ_m é nulo.

Fermat associou definitivamente o binômio $(x + y)^2$ ao teorema de Pitágoras: x^m y^m z^m , fazendo Δ_m tornar-se nulo na projeção ortogonal de y sobre x . O grande salto de lógica deu-se quando ele abstraiu-se, gerando o

binômio $(x + y)^2 = z^2 = x^2 + y^2 + \Delta_m$, para $m > 2$, e começou a especular as consequências da existência dessa equação subvertida, que acabara de descobrir.

A essa altura Fermat já havia montado uma peça-chave daquele quebra-cabeça, mas precisava provar que $\Delta_m \neq 0$ quando m é maior que 2. Com argumentos primitivos de ligações lógicas, Fermat acabara de conhecer o ‘berçário’ da equação $x^m = y^m + z^m$ que levaria seu nome. Bastaria tão-só analisar a nulidade ou não de Δ_m para se chegar a conclusões surpreendentes.

Em outro momento ocorreu-lhe ser viável fazer uma supressão inócua de todos os termos de Δ_m , exceto o termo estratégico, que gerou um grande atalho na lógica, porque bastava apenas um único termo de $\Delta_m \neq 0$ para que $\Delta_m \neq 0$. Sendo definido como:

$$\Delta_m = \sum_{i=1}^{m-1} \binom{m}{i} y^i x^{m-i}, \quad \text{para } m \in \mathbb{Z} / m \geq 2,$$

ele escolheu o seguinte termo estratégico de Δ_m : $y^{m-1}x$, porque permite analisar a projeção de uma figura y^{m-1} multidimensional sobre um segmento de reta x , repousando sobre um plano α , que só podia dar mais de um ponto \underline{a} na projeção ortogonal, ou qualquer que fosse o tipo de projeção.

Para maior clareza sobre o que estamos tentando mostrar, repouse no plano \underline{a} um segmento de reta x . Crie uma figura $(m-1)$ dimensional definida como Figura multidimensional. Se $m = 2$, F_1 é unidimensional. É fácil verificar que F_1 pode ter sua projeção ‘contida’ em um único ponto \underline{a} , se esta for ortogonal, quando jogamos sua sombra no segmento de reta x , no plano α (conforme **figura 1** apresentada no início desta Parte).

É conclusão axiomática o fato de que:

$$\boxed{\text{Se } m > 2, \text{ então: } F_{(m-1)} > F_1 \Leftrightarrow F_{(m-1)} \not\subset F_1}$$

Não teria sentido, então conceber um plano α (F_2) no espaço unidimensional F_1 , (como um segmento de reta x , em um único ponto \underline{a}).

Podemos propor daí a seguinte conclusão:

Se $m = 3$, então podemos afirmar que não é possível haver projeção “contida” em um único ponto \underline{a} , mesmo sendo esta ortogonal, de uma figura F_2 sobre F_1 , no plano α .

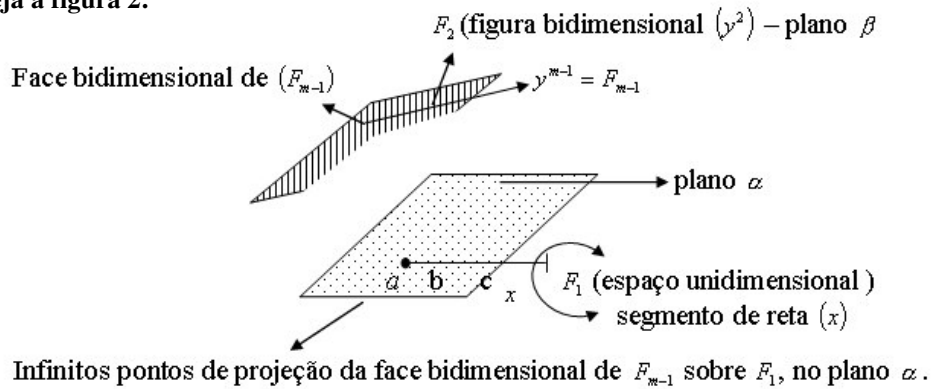
Significa dizer que se $m = 3$, F_2 possui infinitos pontos projetados sobre F_1 , no plano α , qualquer que seja o tipo de projeção. Concluímos então que:

$$\text{Se } m = 3 \Rightarrow \Delta_m \neq 0$$

Quando Fermat chegou a essa conclusão, logo pôde prever o seguinte corolário (baseado no axioma acima):

Se, $m \geq 3$, então podemos afirmar que não é possível haver projeção “contida” em um único ponto \underline{a} , mesmo sendo esta ortogonal, de uma figura $F_{(m-1)}$ sobre, F_1 no plano α .

Seja a figura 2:



— Lembre-se que temos a projeção de y^{m-1} sobre um segmento de reta x . por isso, escolhemos o termo de $\Delta_m = y^{(m-1)}x$.

Agora que Fermat conseguiu provar que $\Delta_m \neq 0$, quando m é maior que 2, pôde finalmente montar todo o quebra-cabeça e concluir sua conjectura. Isso explicaria porque aquele sábio francês concebeu o seu “Teorema” de forma tão simples, sem precisar demonstrá-lo.

Vamos esboçar um resumo na Parte III. Antes, contudo, conheça a idéia de triângulos notáveis no apêndice, pág. 17.

PARTE III – RESUMO

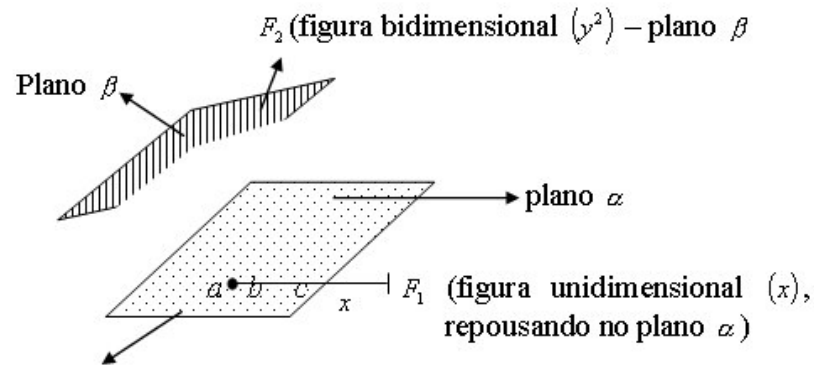
ARGUMENTOS GEOMÉTRICOS PRIMÁRIOS

(DEMONSTRAÇÃO CONTEXTUAL)

Imagine uma figura $(m-1)$ dimensional, para $m > 2$: $F_{(m-1)}$, projetada sobre um segmento de reta x cuja sombra se espelhe no plano α . É impossível, mesmo com o sol a pino, obtermos sombra nula.

Vamos supor que $m = 3$, obtemos a seguinte figura (F_2):

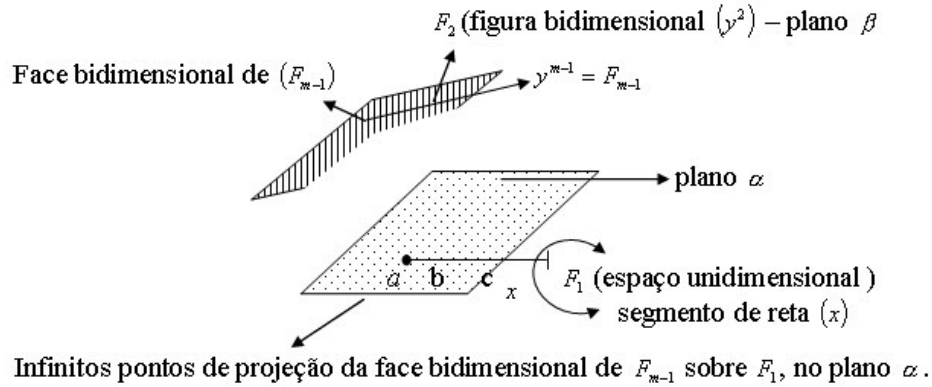
Seja a figura 3:



Projeção de infinitos pontos de y^2 sobre $F_1(x)$ no plano α .

Existem infinitos pontos da projeção de y^2 sobre (x) , o que acarreta um $\Delta_m \neq 0$. Porque F_2 projeta sombra sobre $F_1(x)$, de modo que é impossível, qualquer que seja o tipo de projeção, obtermos sombra nula. Verificamos facilmente que, qualquer

que seja a figura $(m-1)$ dimensional, para $m \geq 3$ ($F_{(m-1)}$), haverá sempre a projeção de infinitos pontos sobre o segmento de reta x , no plano α , pois, qualquer que seja a figura, ela terá necessariamente, uma face bidimensional, conforme **figura 2, na página a seguir.**

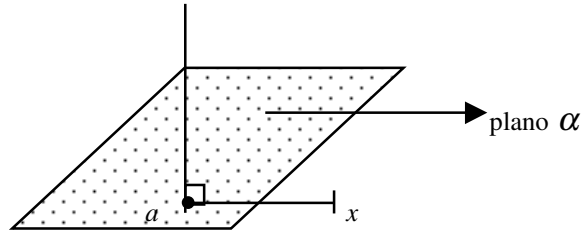


Infinitos pontos de projeção da face bidimensional de F_{m-1} sobre F_1 , no plano α .

Existem infinitos pontos da projeção de y^2 sobre x , o que acarreta um $\Delta_m \neq 0$, porque F_2 projeta sombra sobre F_1 , de modo que é impossível, qualquer que seja o tipo de projeção, obtermos sombra nula. Verificamos facilmente que, qualquer que seja a figura $(m-1)$ dimensional, para $m \geq 3$ ($F_{(m-1)}$), haverá sempre a projeção de infinitos pontos sobre o segmento de reta x , no plano α , pois qualquer figura terá necessariamente uma **face bidimensional (ver figura 2)** e, portanto, não pode estar contida em um ponto \underline{a} do seguimento de reta x . Significa dizer que $\Delta_m \neq 0$, quando $m > 2$, porque, na verdade, como comprovamos, são infinitos, pontos da figura F_{m-1} projetada sobre o plano α , quando esta tem pelo menos uma face bidimensional, que é o caso de $m > 2$. Tornamo-nos repetitivos propositadamente, a fim de que fique devidamente claro que quando $\Delta_m \neq 0 \Leftrightarrow m \geq 3$, logo: $z^m = x^m + y^m + \Delta_m$, não pode formar uma **equação de Fermat**: $z^m = x^m + y^m$

Agora se $m = 2$, obteremos a seguinte figura, neste caso, o sol estando a pino (projeção **ORTOGONAL**).

Seja a figura 3:



Existe um único ponto \underline{a} da projeção **ORTOGONAL** de y sobre x , que acarreta $\Delta_m = 0$. De modo geral, poderíamos dizer que sendo x , y e z inteiros diferentes de zero, $(x + y)^m = z^m = x^m + y^m + \Delta_m$ seria uma equação de Fermat, não fosse a existência de Δ_m no desenvolvimento daquele binômio, porque $(x + y)^m = z^m = x^m + y^m + \Delta_m$ e a equação em destaque é $z^m = x^m + y^m$.

Como, **por definição** $\Delta_m = \sum_{i=1}^{m-1} \binom{m}{i} y^i x^{m-i}$, para $m \in \mathbb{Z} / m \geq 2$,

podemos observar que Δ_m só foi considerado sob o aspecto geométrico da projeção de y^{m-1} sobre x . No caso de $m = 2$, a projeção teve de ser **ORTOGONAL** para termos $\Delta_m = 0$, pois não sendo esta **ORTOGONAL**, teríamos um fatídico $z^2 \neq x^2 + y^2$, ou melhor, $z^2 = x^2 + y^2 + \Delta_m$ (equação não-fermatiana).

As conseqüências das proposições apresentadas neste estudo habilita-nos a apresentar agora a Parte IV, onde procuramos reunir argumentos lógicos capazes de tornar consistente a demonstração inusitada de um teorema.

PARTE IV

A SOLUÇÃO DE UM PEQUENO PROBLEMA

I. Conceito Fundamental de Δ_m - Definição

Seja $\Delta_m = (x + y)^m - (x^m + y^m)$, de modo que

$$z^m = (x + y)^m \quad \therefore \quad z^m = x^m + y^m + \Delta_m$$

Podemos verificar que a equação diofantina $z^m = x^m + y^m$, para x, y e z inteiros diferentes de zero, está **DEFINIDA** se, e somente se, obtivermos um Δ_m nulo, ou seja,

$\Delta_m = 0$, no desenvolvimento do binômio. Destaca-se intrínseca relação entre

$$(x + y)^m = z^m = x^m + y^m + \Delta_m \text{ e a equação diofântica}$$

$$z^m = x^m + y^m \text{ onde, aliás, o único diferencial é o } \Delta_m, \text{ que terá,}$$

para a demonstração do Teorema, uma **REPRESENTAÇÃO GEOMÉTRICA**.

Por definição $\Delta_m = \sum_{i=1}^{m-1} \binom{m}{i} y^i x^{m-i}$, para $m \in \mathbb{Z} / m \geq 2$.

II. Análise da Representação Geométrica de Δ_m

A projeção é operação geométrica fundamental para se entender o conceito de Δ_m que deve ser limitado a $y^i x^{m-i}$, ou ainda, mais precisamente ao termo $y^{m-1} x$.

Para efeito de prova, limita-se tão-somente à projeção de $y^{m-1} x$ sobre o seguimento de reta x , onde $y^{m-1} x$ representa uma figura multidimensional $(F_{(m-1)})$ e x, F_1 para

$m > 2$, que nos dá a seguinte declaração axiomática: $F_{(m-1)} > F_1 \Leftrightarrow F_{(m-1)} \not\subset F_1$ onde

podemos verificar o seguinte corolário:

Se, $m > 2$, então podemos afirmar que não é possível haver projeção “contida” em um único ponto \underline{a} , mesmo sendo esta ortogonal, de uma figura $(F_{(m-1)})$ sobre F_1 , no plano α .

Seja agora o termo estratégico $y^{m-1} x$ de Δ_m . Chamemos A o conjunto de pontos formados pela projeção de x sobre y^{m-1} e B o conjunto de pontos da projeção de y^{m-1} sobre x .

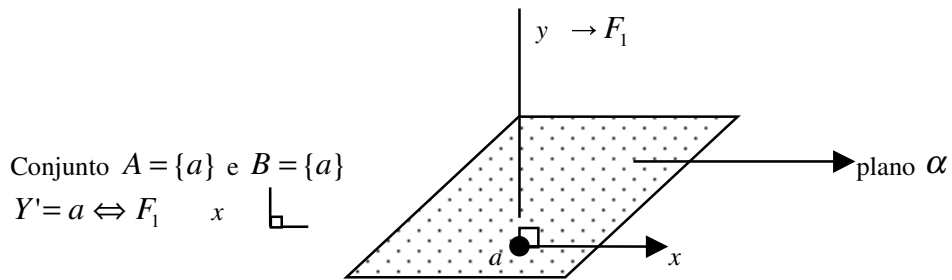
A projeção é $(y^{(m-1)})$ para uma figura $(F_{(m-1)})$ projetada sobre o plano α onde repousa o seguimento de reta x .

II-a. Análise de Δ_m para $m = 2$

Temos A , conjunto de pontos formados pela projeção **ORTOGONAL** de x sobre y e B , de y sobre x . Como x e y representam segmentos de reta, dizemos que x e y são figuras reflexivas, ou seja, $F_{(m-1)} = F_{(2-1)} = F_1 = x = y$ (figuras unidimensionais).

Daí temos:

(x e y representam segmentos de reta).



Por serem figuras reflexivas, $A \cap B$ forma conjunto unitário que, por definição, acarreta $\Delta_m = 0$ (no caso de $m = 2$, Δ_m só apresenta um único termo: $2y'x$).

Isso explicaria por que um triângulo só pode ser retângulo quando $z^2 = x^2 + y^2$, ou seja, a projeção **ORTOGONAL** acarreta um Δ_m **nulo**. Se a projeção não fosse **ORTOGONAL** $\Delta_m \neq 0$, ou seja, $z^2 \neq x^2 + y^2$ e não teríamos triângulos retângulos: $z^2 = x^2 + y^2 (+ \Delta_m)$.

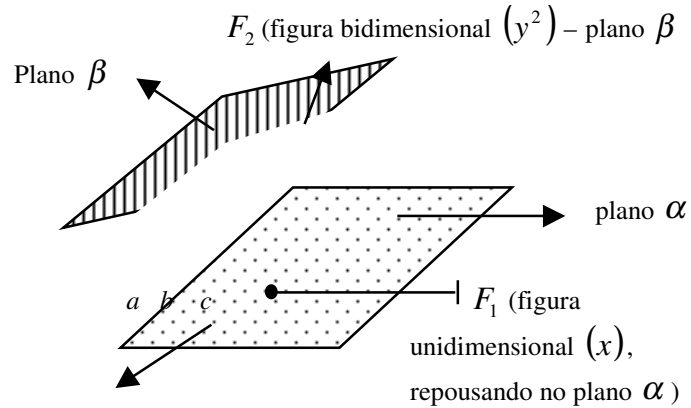
Portanto, temos que: $\Delta_m = 0$ para $m = 2$, no caso da projeção ortogonal de y sobre x .

II-b. Análise de Δ_m para $m = 3$

Baseados, no que verificamos no corolário acima, se $m = 3$, então podemos afirmar que não é possível haver projeção “contida” em um único ponto \underline{a} , mesmo sendo esta ortogonal, de uma figura F_2 sobre F_1 , no plano α .

Vemos infinitos pontos da projeção de $y^2 (F_2)$ sobre $x (F_1)$ (ainda que seja ORTOGONAL). x representa um segmento de reta e y^2 representa um plano.

Quando $m = 3$, obtemos a seguinte figura 3, (F_2), na página seguinte:



Projeção de infinitos pontos de y^2 sobre $F_1 (x)$ no plano α .

Se $m = 3$, o conjunto $B = \{a, b, c, \dots\}$ é formado por infinitos pontos de y^2 sobre x , que é equivalente dizer que temos uma figura bidimensional sobre uma figura unidimensional. Sabemos que se $m > 2$, então $F_{(m-1)} > F_1 \Rightarrow F_{(m-1)} \not\subset F_1$. Assim, temos $A \cup B = \{a, b, c, \dots\}$ que acarreta $\Delta_m \neq 0$, ou seja, $z^3 \neq x^3 + y^3$ porque obtemos infinitos pontos de projeção de F_2 sobre F_1 .

Portanto, temos que: $\Delta_m \neq 0$, para $m = 3$.

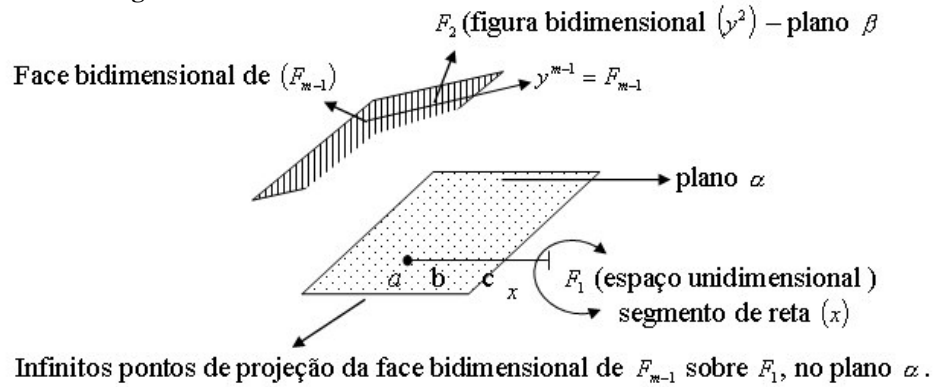
II-c. Análise de Δ_m para $m > 3$

Baseados ainda no referido corolário acima e considerando o exposto em II-b., podemos deduzir que $z^m \neq x^m + y^m$ para qualquer tipo de projeção, porque, para $m \geq 3$, haverá sempre o termo $y^{m-1}x$, com infinitos, pontos da projeção de y^{m-1} sobre x ($F_{(m-1)}$ sobre F_1). Qualquer que seja o m maior que 2, haverá sempre, necessariamente, pelo menos uma face bidimensional da figura geométrica multidimensional (ver figura abaixo). Isso leva-nos a concluir que a análise de Δ_m para $m = 3$ é equivalente à análise de Δ_m para $m > 2$. Aliás, o corolário acima exposto

refere-se a qualquer m maior que 2 e não apenas $m = 3$.

Portanto, temos que: $\Delta_m \neq 0$, para $m > 2$

Conforme figura 2:



III. A Conseqüência da Prova de um Teorema

Em resumo:

Se $m = 2 \rightarrow A \cup B = \{a\} \Leftrightarrow \Delta_m = 0$ (no caso específico de projeção ORTOGONAL que dá origem aos ternos pitagóricos).

Se $m > 2 \rightarrow A \cup B = \{a, b, c, \dots\} \Leftrightarrow \Delta_m \neq 0$ (qualquer que seja o tipo de projeção).

Assim observamos que se $m > 2$, $\Delta_m \neq 0$. Como, por definição, $z^m = x^m + y^m$ se, e somente se, $\Delta_m = 0$, a equação diofantina $x^m + y^m = z^m$, na qual m é um inteiro qualquer não admite solução para x, y e z inteiros diferentes de zero quando o expoente for maior que 2.

A demonstração desse Teorema só se torna consistente se restringirmos o universo dos números ao conjunto dos inteiros que dão origem à equação de Fermat ($\Delta_m = 0$). Portanto, uma demonstração considerando o campo dos Reais tornar-se-ia absurda uma vez que não podemos pôr em questionamento algo que não existe: o Teorema tem sua condição de existência em Z^* para x, y e z e Δ_m nulo.

PARTE V – EPÍLOGO**O DEVIDO MÉRITO A UM SÁBIO FRANCÊS**

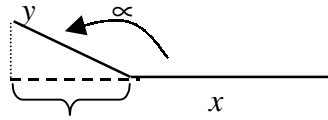
Do estudo apresentado, o conceito teórico sobre figuras multidimensionais parece complexo para um matemático do século XVII. Aliás, parece-nos dúbio conceber essas entidades projetadas sobre um plano, se não sabemos sequer se elas existem, mesmo para a alta matemática que se inicia no século XXI. Desconsiderando o alto nível de abstração sobre o tema, podemos afirmar que praticamente todos os argumentos matemáticos aqui expostos poderiam ser colocados por um pesquisador, mesmo que diletante, sem qualquer espanto que tenha vivido no século XVII. Defendemos a tese de que Pierre de Fermat de fato concebeu o Último Teorema de Fermat através de conexões lógicas consistentes, mas foi “preguiçoso” para formalizar suas idéias em linguagem matemática. Essa, aliás, parecia uma característica que lhe era peculiar, inerente a sua personalidade, pelo que atestam seus biógrafos.

Acreditamos que Fermat olhou atentamente à sua direita e, ao alcance de seus olhos, viu o UTF. Outros, no entanto, olharam para a esquerda e precisaram dar a volta ao mundo na teoria dos números para vislumbrar uma genialidade turva desse grande pensador francês.

APÊNDICE**TRIÂNGULOS NOTÁVEIS – DEFINIÇÃO**

Para unir os elos de uma corrente lógica que culminaram na constatação de que, tendo $x^m + y^m + \Delta_m = z^m = (x + y)^m$, só podemos obter a equação de Fermat: $x^m + y^m = z^m$, se $\Delta_m = 0$, é preciso conceber a idéia dos triângulos notáveis. Define-se triângulo notável como todo aquele que tem um ângulo interno ∞ , formado pelos dois lados menores do triângulo, tendendo a 180° . Dessa forma, a projeção do lado y sobre o lado x (definido como y') se aproxima de y .

Ou seja, $\lim_{\alpha \rightarrow 180^\circ} y' = y$



y' (projeção de y sobre x)

— Δ_m e o triângulo notável

Mostraremos que, sendo $z^m = (x + y)^m = x^m + y^m + \Delta_m$, a entidade Δ_m pode ser a representação geométrica da projeção de y^{m-1} sobre x , para efeito da verificação da sua nulidade ou não, para $m > 2$.

Como, no caso do triângulo notável, y é unidimensional, m só pode valer 2 (porque é a projeção de $y^{(m-1)}$ sobre $x \Leftrightarrow y^1$ sobre x . Logo: $m - 1 = 1 \therefore m = 2$).

Portanto, temos: $z^2 = x^2 + y^2 + \Delta_m$

Por definição $\Delta_m = 2y'x$ (representação geométrica da projeção de y sobre x).

Note que quando α se aproxima de 180° , Δ_m aproxima-se de $2yx$.

Logo, temos: $z^2 = x^2 + y^2 + 2xy \therefore z^2 = (x + y)^2$.

Se substituirmos $y(F_1)$ por $y^{(m-1)}(F_{(m-1)})$, de modo análogo, temos Δ_m como representação geométrica da projeção de $y^{(m-1)}$ sobre x e, conseqüentemente temos que $z^m = (x + y)^m = x^m + y^m + \Delta_m$, onde Δ_m implica projeção de y^{m-1} sobre x , para $m > 2$. (c.q.d.)

UMA CONSIDERAÇÃO IMPORTANTE

No caso específico de $\alpha = 90^\circ$, $y' = \underline{a}$, logo $\Delta_m = 0$ e $z^m = x^m + y^m$ (sem Δ_m) gera uma equação de Fermat.

Daí termos concluído que se $m = 2$, $(y^{(m-1)})' = \underline{a}$ acarreta $\Delta_m = 0$ e conseqüentemente $z^m = x^m + y^m$ gera uma equação de Fermat, que se distingue de $z^m = x^m + y^m + \Delta_m$ (equação não-fermatiana). Lembre-se que numa equação de Fermat x, y e z são inteiros diferentes de zero.

Para obtermos uma equação de Fermat, o primeiro passo é analisarmos a projeção do y^{m-1} sobre x igual a $(y^{(m-1)})'$. Se esta gerar $\Delta_m \neq 0$, necessariamente teremos uma equação não-fermatiana (É o que verificamos quando m é maior que 2).

Note que a importância dessa consideração consiste em mostrar a diferença existente entre $z^m = x^m + y^m$ (equação de Fermat) e uma equação não-fermatiana: $z^m = x^m + y^m + \Delta_m$ $\Delta_m \neq 0 \Leftrightarrow m > 2$.

Dessa forma mostra-se que uma equação de Fermat só tem chances de existir quando $\Delta_m = 0$ no binômio $(x + y)^m = z^m = x^m + y^m + \Delta_m$, sendo x, y e z inteiros diferentes de zero. Ou seja: *Se existe $z^m = x^m + y^m$, então $\Delta_m = 0$* (por definição).

Nota: Volte a pág. 285